

результатами. Линия 5 показывает увеличение скорости  $u_1$  в осесимметричном канале при встречном присосовом вдуве струи для  $R/r = 18$ , рассчитанное по методике [7]. Из сравнения видно, что рост скорости в осесимметричном канале менее существен, чем в плоском.

В заключение отметим, что задача решена в упрощенной постановке без учета неравномерности распределения статического давления поперек канала, без анализа пограничных слоев во встречной пристенной струе и в набегающем потоке и при ряде других упрощений. Однако корректность полученных простых соотношений, позволяющих провести расчет некоторых важных параметров взаимодействия пристенной струи со встречным потоком в ограниченном канале, достаточно хорошо подтверждается экспериментальными результатами.

#### ЛИТЕРАТУРА

1. Гольдберг С. А., Соловьева Л. С. Стабилизация пламени встречными струями // Теория и практика сжигания газа.— Л., 1964.
2. Эльперин И. Т., Мальцер В. Л., Павловский Л. Л., Енякин Ю. А. Процессы переноса во встречных струях.— Минск: Наука и техника, 1972.
3. Леонтьева Т. П. Распространение осесимметричных струй в спутном и встречном потоках // Тр. совещания по прикладной газовой динамике.— Алма-Ата, 1959.
4. Суй Х. Н., Иванов Ю. В. Исследование развития круглой струи в начальном участке встречной струи большого размера // Изв. АН ЭССР. Сер. техн. и физ.-мат. наук.— 1959.— Т. 8, № 3.
5. Тимма Э. Турбулентные круглые и плоские струи, развивающиеся во встречном потоке // Изв. АН ЭССР. Сер. техн. и физ.-мат. наук.— 1962.— Т. 11, № 4.
6. Илизарова Л. И., Гиневский А. С. Экспериментальное исследование струи во встречном потоке // Промышленная аэродинамика.— 1962.— Вып. 23.
7. Секундов А. П. Распространение турбулентной струи во встречном потоке // Исследование турбулентных струй воздуха, плазмы и реального газа.— М.: Машиностроение.— 1967.
8. Волчков Э. П., Лебедев В. П., Низовцев М. И. Интенсификация теплообмена в канале встречной струей // Тез. докл. Минского международного форума.— Минск, 1988.— Сек. 1, ч. 2.
9. Волчков Э. П., Лебедев В. П., Шинкин Н. Е. Эффективность газовой завесы при взаимодействии пристенной струи со встречным потоком // Теплообмен VII.— Минск, 1984.— Т. 1, ч. 2.
10. Теория турбулентных струй/Под ред. Г. Н. Абрамовича.— М.: Наука, 1984.
11. Низовцев М. И. Дальность плоской пристенной струи во встречном потоке // Современные проблемы теплофизики.— Новосибирск: ИТ, 1987.

г. Новосибирск

Поступила 30/1 1990 г.

УДК 533.6.011.536.24

А. В. Буреев, В. И. Зинченко

### РАСЧЕТ ОБТЕКАНИЯ СФЕРИЧЕСКИ ЗАТУПЛЕННОГО КОНУСА ПРИ РАЗЛИЧНЫХ РЕЖИМАХ ТЕЧЕНИЯ В УДАРНОМ СЛОЕ И ВДУВЕ ГАЗА С ПОВЕРХНОСТИ

Рассматривается осесимметричное обтекание сферически затупленного конуса сверхзвуковым потоком воздуха при таких числах Рейнольдса, когда в ударном слое реализуются разные режимы течения. Анализ влияния вдува газа с поверхности на характеристики ламинарного и турбулентного вязкого ударного слоя проводился в [1, 2]. В настоящей работе изучено влияние вдува различной интенсивности и законов распределения вдуваемого газа вдоль образующей сферического затупления на характеристики теплообмена и проведено сопоставление с экспериментальными данными [3].

1. В естественной системе координат  $(s, n)$  система уравнений вязкого ударного слоя для осредненных величин с использованием безразмерных переменных, введенных в [4], имеет вид

$$(1.1) \quad \frac{\partial}{\partial s}(\rho ur) + \frac{\partial}{\partial n}(\rho vrh_1) = 0;$$

$$(1.2) \quad \rho \left( \frac{u}{h_1} \frac{\partial u}{\partial s} + v \frac{\partial u}{\partial n} + \frac{kuv}{h_1} \right) = - \frac{1}{h_1} \frac{\partial p}{\partial s} + \varepsilon^2 \frac{\partial}{\partial n} \left[ \mu_\Sigma \left( \frac{\partial u}{\partial n} - \frac{ku}{h_1} \right) \right] + \\ + \varepsilon^2 \mu_\Sigma \left( \frac{2k}{h_1} + \frac{\cos \alpha}{r} \right) \left( \frac{\partial u}{\partial n} - \frac{ku}{h_1} \right);$$

$$(1.3) \quad \rho \left( \frac{u}{h_1} \frac{\partial v}{\partial s} + v \frac{\partial v}{\partial n} - \frac{ku^2}{h_1} \right) = - \frac{\partial p}{\partial n};$$

$$(1.4) \quad \rho \left( \frac{u}{h_1} \frac{\partial H}{\partial s} + v \frac{\partial H}{\partial n} \right) - v \left( \frac{\partial p}{\partial n} - \frac{k\rho u^2}{h_1} \right) = \varepsilon^2 \frac{\partial}{\partial n} \left[ \frac{\mu_\Sigma}{Pr_\Sigma} \frac{\partial H}{\partial n} + \frac{\mu_\Sigma}{Pr_\Sigma} (Pr_\Sigma - 1) u \frac{\partial u}{\partial n} - \right. \\ \left. - \mu_\Sigma \frac{ku^2}{h_1} \right] + \varepsilon^2 \left( \frac{k}{h_1} + \frac{\cos \alpha}{r} \right) \left[ \frac{\mu_\Sigma}{Pr_\Sigma} \frac{\partial H}{\partial n} + \frac{\mu_\Sigma}{Pr_\Sigma} (Pr_\Sigma - 1) u \frac{\partial u}{\partial n} - \mu_\Sigma \frac{ku^2}{h_1} \right];$$

$$(1.5) \quad p = \rho h (\gamma - 1) / \gamma.$$

Краевые условия на ударной волне ( $n = n_s$ ) для рассматриваемого диапазона чисел Рейнольдса записываются как обычные соотношения Ранкина — Гюгонио:

$$(1.6) \quad u_s = \cos \sigma \cos \beta_s + \frac{1}{\rho_s} \sin \sigma \sin \beta_s, \\ v_s = u_s \operatorname{tg} \beta_s - \frac{1}{\rho_s} \frac{\sin \sigma}{\cos \beta_s}, \quad p_s = \frac{1}{\gamma M_\infty^2} + \left( 1 - \frac{1}{\rho_s} \right) \sin^2 \sigma, \\ H_s = H_\infty, \quad \frac{1}{\rho_s} = \frac{\gamma - 1}{\gamma + 1} + \frac{2}{(\gamma + 1) M_\infty^2 \sin^2 \sigma}.$$

На теле ( $n = 0$ ) при вдуве газа того же состава, что и набегающий поток,

$$(1.7) \quad u = 0, \quad (\rho v) = (\rho v)_w(s), \quad h = h_w.$$

Условия на оси симметрии ( $s = 0$ ):

$$(1.8) \quad u = 0, \quad \partial v / \partial s = \partial p / \partial s = \partial H / \partial s = 0.$$

Угол наклона ударной волны  $\sigma$  связан с отходом  $n_s$  соотношением  $dn_s/ds = h_{1s} \operatorname{tg} \beta_s$ ,  $\beta_s = \sigma - \alpha$ .

В (1.1)–(1.8)  $u$ ,  $v$  — компоненты вектора скорости, отнесенные к  $v_\infty$ ;  $p$ ,  $\rho$  — давление и плотность газа — к  $\rho_\infty v_\infty^2$  и  $\rho_\infty$  соответственно;  $H = h + u^2/2$  — энтальпия — к  $v_\infty^2$ ;  $T$  — температура — к характерному значению  $T_* = v_\infty^2/c_p$ ;  $\mu$  — коэффициент вязкости — к своему характерному значению  $\mu_*(T_*)$ ;  $h_1 = 1 + kn$ ,  $r = r_w + n \cos \alpha$  — коэффициенты Ламе;  $\varepsilon^2 = \mu_*/(\rho_\infty v_\infty R_N)$  — безразмерный параметр, обратный числу Рейнольдса;  $\mu_\Sigma = \mu + \Gamma \mu_T$ ;  $Pr_\Sigma = \mu_\Sigma Pr Pr_T / (\mu Pr_T + \Gamma \mu_T Pr)$ ; индексы  $\infty$ ,  $s$ ,  $w$  отвечают характеристикам течения в набегающем потоке, за ударной волной и на поверхности тела;  $t$  присваивается величинам, связанным с турбулентным переносом.

Коэффициент молекулярной вязкости найдем по формуле Сюзерленда  $\mu = \frac{1+C}{T+C} T^{3/2}$ ,  $C = \frac{110,4}{(\gamma-1) M_\infty^2 T_{\infty p}}$  ( $T_{\infty p}$  — размерная температура). Коэффициент турбулентной вязкости  $\mu_T$  определим с помощью двухслойной модели [5]. Для используемых безразмерных переменных можно записать в пристеночной области

$$\mu_T = \frac{0,16 \rho n^2}{\varepsilon^2} \left[ 1 - \exp \left( - \frac{n}{A} \right) \right]^2 \frac{\partial u}{\partial n}, \\ A = \varepsilon^2 \frac{26 \mu}{\rho v_*} \left[ \frac{\bar{P}}{v_w} (1 - \exp(11,8 \bar{v}_w)) + \exp(11,8 \bar{v}_w) \right]^{-1/2}, \\ \bar{v}_w = \frac{v_w}{v_*}, \quad v_* = \varepsilon \sqrt{\frac{\tau_w}{\rho}}, \quad \bar{P} = - \frac{\varepsilon^2 \mu}{\rho \rho_w v_*^3} \frac{\partial p_s}{\partial s}, \quad \tau_w = \mu_w \frac{\partial u}{\partial n} \Big|_w.$$

Во внешней области

$$\mu_T = \frac{0,0168}{\varepsilon^2} \rho \left[ 1 + 5,5 \left( \frac{n}{n_e} \right)^{\frac{1}{2}} \right]^{-1} \int_0^{n_e} (u_e - u) dn.$$

Здесь и ниже индекс  $e$  отвечает характеристикам на внешней границе пограничного слоя в ударном слое; значения  $n_e$ ,  $u_e$  варьировались за счет изменения границы пограничного слоя и оценивалось их влияние на потоковые величины к поверхности тела.

Расчет переходной области течения проводился с помощью формул [6]. Для случая обтекания сферического затупления коэффициент пережимаемости  $\Gamma$  может быть записан в виде

$$\Gamma = 1 - \exp \left[ - \frac{\Phi \sin s}{\frac{1}{R_N} \frac{du_e}{ds} \Big|_{s=0}} \ln \left( \frac{\operatorname{tg} \frac{s}{2}}{\operatorname{tg} \frac{s_{II}}{2}} \right) \ln \frac{s}{s_{II}} \right],$$

$$\Phi = \frac{3u_e^3}{\varepsilon^4 \left( B \frac{\mu_e}{\rho_e} \right)^2} \operatorname{Re}_{II}^{-1,34}, \quad D = 60 + 4,68 M_{II}^{1,92},$$

где  $\operatorname{Re}_{II} = \frac{1}{\varepsilon^2} \frac{\rho_e u_e s_{II}}{\mu_e}$ ,  $M_{II} = \left( \frac{u_e}{a_e} \right)_{s=s_{II}}$  — числа Рейнольдса и Маха, вычисленные в точке потери устойчивости ламинарного пограничного слоя. Координата этой точки  $s_{II}$ , отвечающая началу переходной области течения, назначалась из эксперимента либо рассчитывалась по критическому значению числа Рейнольдса

$$\operatorname{Re}^{**} = \frac{i}{\varepsilon^2} \frac{\rho_e u_e \delta^{**}}{\mu_e} = 200, \quad \delta^{**} = \int_0^{n_e} \frac{\rho u}{\rho_e u_e} \left( 1 - \frac{u}{u_e} \right) dn.$$

В области ламинарного режима течения  $\Gamma = 0$ , в области турбулентного —  $\Gamma = 1$ .

2. Эффективными методами решения системы уравнений вязкого ударного слоя являются методы, основанные на проведении глобальных итераций по форме ударной волны [4, 7]. При расчете системы уравнений (1.1)–(1.5) использовалось следующее преобразование независимых переменных [7]:

$$\xi = s, \quad \eta = \frac{1}{\Delta} \int_0^n \rho \left( \frac{r}{r_w} \right) dn, \quad \Delta = \int_0^{n_s} \rho \left( \frac{r}{r_w} \right) dn.$$

С помощью метода глобальных итераций, методика расчета по которому подробно описана в [8], было проведено численное интегрирование исходной краевой задачи в широком диапазоне изменения чисел Рейнольдса и Маха. Для устойчивости итерационного процесса на текущей глобальной итерации в точке разрыва кривизны образующей сфера — конус использовался спуск по параметру кривизны. Разностные схемы для систем уравнений параболического и гиперболического типов получены с помощью итерационно-интерполяционного метода [9]. Для турбулентного режима течения в ударном слое разработаны комбинированные разностные схемы, обеспечивающие сращивание искомых характеристик в области ламинарного подслоя и турбулентного ядра и учитывающие характер изменения коэффициента турбулентной вязкости поперек ударного слоя. Это позволило увеличить скорость сходимости итерационного процесса и проводить расчеты вплоть до  $\operatorname{Re}_{\infty} = 10^8 - 10^9$  при различных расходах вдуваемого газа с поверхности обтекаемого тела. Для турбулентно-

го режима течения поперек ударного слоя применялся переменный шаг, обеспечивающий попадание необходимого количества расчетных точек в область ламинарного подслоя. При проведении тестовых проверок использованы расчеты по модели пограничного слоя и модели Эйлера.

3. На рис. 1, 2 приведены результаты расчетов обтекания конуса, затупленного по сфере, с углом полураствора конуса  $5^\circ$  для определяющих параметров,

отвечающих экспериментальным измерениям тепловых характеристик при наличии вдува с поверхности модели в аэродинамической трубе [3]. Условиям испытаний соответствуют величины  $M_\infty = 5$ , температура в точке торможения  $T_{e0} = 525$  К,  $T_w = 288$  К, радиус модели  $R_N = 0,0508$  м, давление в точке торможения  $p_{e0} = 0,625 \cdot 10^5$  и  $3,125 \cdot 10^5$  Н/м<sup>2</sup> для ламинарного и турбулентного режимов течения.

В отсутствие вдува газа с поверхности на рис. 1 даны кривые распределений безразмерного теплового потока  $q_w = \left( \frac{\mu}{Pr} \frac{\partial H}{\partial n} \right)_w \frac{\sqrt{Re}}{\rho_{e0} v_m h_{e0}}$  для ламинарного и турбулентного режимов течения в ударном слое (1, 2), давления на поверхности  $p_w$  и отхода ударной волны  $n_s$  (3, 4). В выражении

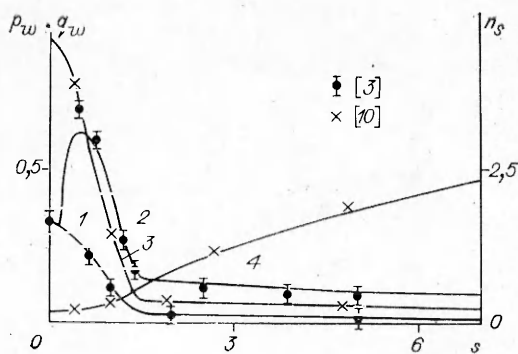
для  $q_w$  величина  $\left( \frac{\mu}{Pr} \frac{\partial H}{\partial n} \right)_w$  отвечает размерному тепловому потоку,  $Re = \frac{\rho_{e0} v_m R_N}{\mu_{e0}}$  ( $v_m = \sqrt{2h_{e0}}$ ) связано с  $\varepsilon^2$  следующим образом:  $\varepsilon^2 = \frac{\rho_{e0} v_m}{\rho_\infty v_\infty} \times \left( \frac{\mu_{e0}}{\mu_*} Re \right)^{-1}$ . Для принятых условий  $Re = 7,74 \cdot 10^5$  и  $3,87 \cdot 10^6$ . Здесь же

приводятся данные экспериментальных измерений тепловых потоков из [3] и расчетные характеристики из таблиц [10]. При принятом безразмеривании тепловые потоки на участке, где реализуется ламинарный режим течения, совпадают, а в зоне развитого турбулентного течения  $q_w$  значительно возрастает и максимальный тепловой поток достигается в окрестности звуковой линии. Давление на поверхности и положение ударной волны для рассмотренных значений  $Re$  совпадают.

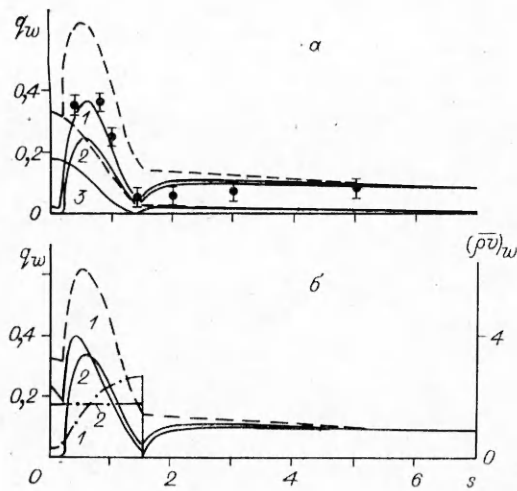
Влияние вдува газа с поверхности сферического затупления при постоянных значениях расхода  $(\rho v)_w$  на тепловые потоки показано на рис. 2, а, где кривые 1, 2 отвечают турбулентному режиму течения ( $Re = 3,87 \cdot 10^6$ ) при  $(\rho v)_w = 1,52$ ; 3 (безразмерная величина расхода  $(\rho v)_w$

связана с размерной:  $(\overline{\rho v})_w = \frac{(\rho v)_w \sqrt{Re}}{\rho_{e0} v_m}$ ). Кривая 3 получена при ламинарном режиме течения для  $(\overline{\rho v})_w = 0,5$ . Штриховые линии рис. 2 пере-

несены с рис. 1 при  $(\overline{\rho v})_w = 0$ , сравнение соответствующих кривых позволяет проанализировать ослабление тепловых потоков в зоне тепловой завесы на конической части поверхности. Значками (при  $(\overline{\rho v})_w = 1,52$ ) нанесены данные экспериментальных измерений, которые достаточно удовлетворительно согласуются с расчетными на сферической части тела в области турбулентного режима течения. На конической поверхности расчетные значения за точкой сопряжения со сферическим носком при  $s < 5,0$  лежат заметно выше экспериментальных, что отмечалось и в [3], причем причиной рассогласования может явиться нестационарный характер процессов теплообмена, имеющий место при проведении эксперимента.



Р и с. 1



Р и с. 2

Для расчетных  $Re$  и указанных выше расходов вдуваемого газа (см. рис. 2) наблюдается сильное снижение теплового потока, но при этом давление на поверхности и отход ударной волны практически не меняются. Таким образом, для больших  $Re$  при различных режимах течения в ударном слое могут быть указаны диапазон расходов вдуваемого газа, обеспечивающий необходимое снижение уровня тепловых потоков к телу, и, как следствие, допустимые температурные режимы оболочки при сохранении аэродинамических характеристик.

Представляет интерес оценить влияние закона расхода вдуваемого газа на тепловые потоки к сферической пористой оболочке и конической поверхности. На рис. 2, б кривые 2 отвечают тепловому потоку  $q_w(s)$  при  $(\rho v)_w(s) = \text{const} = 1,785$  (штрихпунктирная линия 2), а кривые 1 получены для закона расхода, показанного штрихпунктирной линией 1.

При этом суммарная масса газа-охлаждителя  $2\pi R_N^2 \int_0^{s_1} (\rho v)_w \sin s ds$  одинакова для обоих случаев, а закон расхода получен при задании давления  $p_R$  в полости пористой сферической оболочки. Используя в тонкой пористой оболочке в стационарном случае уравнение движения в виде закона Дарси с учетом квадратичного члена

$$(3.1) \quad \partial p / \partial n = A\mu v + B\rho v^2 \varphi$$

и закон сохранения массы

$$(3.2) \quad (\rho v \varphi) = (\rho v)_w,$$

несложно выписать после интегрирования (3.1) с учетом уравнения состояния  $P = \rho RT/M$  выражение

$$(3.3) \quad (\rho v)_w = \left[ -A\mu + \sqrt{(A\mu)^2 + \frac{2B\varphi}{R} (p_R^2 - p_w^2)} \right] \frac{1}{2B}.$$

Для типичных значений структурных характеристик материала  $A$  и  $B$ , пористости  $\varphi$  [11] при заданной толщине оболочки  $L$  легко определяется закон расхода вдуваемого газа  $(\rho v)_w(s)$ .

Как и следовало ожидать, для найденного закона расхода на лобовой части сферической оболочки в зоне ламинарного режима течения и части области турбулентного тепловые потоки  $q_w$  превышают соответствующие значения, полученные для постоянного расхода, а на боковой поверхности снижаются по сравнению с кривой 2. В целом же длина тепловой завесы определяется суммарной массой вдуваемого холодного газа и для рассмотренных законов  $(\rho v)_w(s)$  слабо зависит от характера распределения вдува вдоль образующей.

На рис. 3 для пористой сферической оболочки проведена обработка результатов решения  $q_w(s)/q_w^0(s)$  от безразмерного параметра  $a = (\rho v)_w \times (H_{e0} - H_w)/q_w^0$  в различных точках по обводу. Здесь  $q_w^0(s)$  — тепловой поток в отсутствие вдува; светлые точки отвечают расчетным данным, темные — экспериментальным [3]. Прямая 1 получена по формуле из [12] для окрестности лобовой критической точки и соответствует лами-

парному режиму течения, 2 — по формуле из [13] для турбулентного режима течения на пластине. Видно, что в области развитого турбулентного режима течения на сфере результаты удовлетворительно согласуются с данными эксперимента и могут быть применены при оценке влияния вдува на тепловые потоки. При обработке расчетов использовались различные законы для  $(\rho v)_w(s)$  (постоянный расход), а также зависимость (3.3).

Обработка результатов решения на конической части тела в зоне тепловой завесы для турбулентного режима течения приведена на рис. 4. Как и в [14],

в качестве параметра вдува взято отношение суммарной массы вдуваемого газа к произведению коэффициента теплообмена в рассматриваемом сечении в отсутствие вдува на площадь поверхности  $\Pi(s)$  от линии прекращения вдува до рассматриваемого сечения  $b = 2\pi \bar{h}_N^2 \times \int_0^{s_f} (\rho v)_w \sin s ds (H_{e0} - h_w) / (q_w^0(s) \Pi(s))$ . Светлые и темные точки отвечают постоянному расходу и зависимости (3.3). Обработка экспериментальных данных [3] также дает значения, близкие к теоретическим. Отметим, что полученные результаты лежат выше данных [14], что обусловлено, по-видимому, различием геометрии обтекаемых тел и нестационарным характером процессов теплообмена при проведении эксперимента на нетеплопроводных материалах в зоне за участком вдува. Для этих условий изотермической поверхности представленная обработка позволяет оценивать тепловые потоки к конической поверхности в зависимости от определяющих параметров задачи.

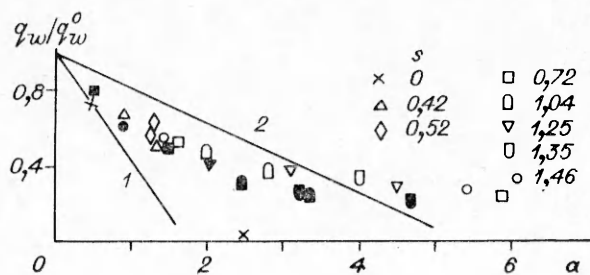


Рис. 3

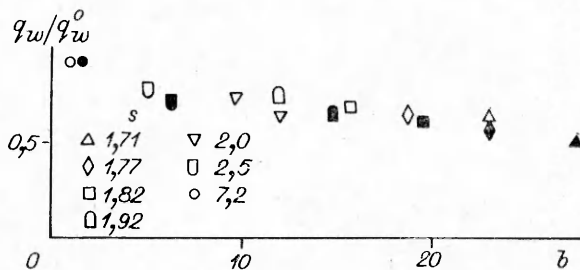


Рис. 4

#### ЛИТЕРАТУРА

1. Kumar A., Tiwari S. N., Graves R. A. Laminar and turbulent flows over a spherically blunted cone with massive surface blowing // AIAA J.— 1979.— V. 17, N 12.
2. Moss J. N., Simmonds A., Anderson E. C. Turbulent radiating shock layers with coupled ablation injection // AIAA J.— 1981.— V. 19, N 2.
3. Feldhuhm R. H. Heat transfer from a turbulent boundary layer on a porous hemisphere.— N. Y., 1976.— (Paper/AIAA; N 119).
4. Davis R. T. Numerical solution of the hypersonic viscous shock-layer equations // AIAA J.— 1970.— V. 8, N 5.
5. Cebeci T. Behavior of turbulent flow near a porous wall with pressure gradient // AIAA J.— 1970.— V. 8, N 12.
6. Chen K. K., Tyson N. A. Extension of Emmons spot theory to flow on blunt bodies // AIAA J.— 1971.— V. 9, N 5.
7. Васильевский С. А., Тирский Г. А. О некоторых способах численного решения уравнений вязкого ударного слоя // Аэродинамика гиперзвуковых течений при наличии вдува.— М.: Изд-во МГУ, 1979.
8. Зинченко В. И., Пырх С. И. Расчет неравновесного вязкого ударного слоя с учетом сопряженного теплообмена // Изв. АН СССР. МЖГ.— 1984.— № 2.
9. Гришин А. М., Берцун В. Н., Зинченко В. И. Итерационно-интерполяционный метод и его приложения.— Томск: Изд-во ТГУ, 1981.
10. Любимов А. Н., Русанов В. В. Течения газа около тупых тел.— М.: Наука, 1970.— Ч. 1.

11. Белов С. В. Пористые металлы в машиностроении.— М.: Машиностроение, 1981.
12. Анфимов И. А., Альтов В. В. Теплообмен, трение и массообмен в ламинарном многокомпонентном пограничном слое при вдуве инородных газов // ТВТ.— 1965.— № 3.
13. Мугалев В. П. Некоторые вопросы воздействия вдувания на турбулентный пограничный слой // Турбулентные течения.— М.: Наука, 1970.
14. Харченко В. Н. Теплообмен в гиперзвуковом турбулентном пограничном слое при вдуве охлаждающего газа через щель // ТВТ.— 1972.— № 1.

г. Томск

Поступила 20/X 1989 г.

УДК 532.529:534.2

Д. А. Губайдуллин, А. И. Ивандеев

## ДИНАМИКА ИМПУЛЬСНЫХ ВОЛН МАЛОЙ АМПЛИТУДЫ В ПАРОГАЗОКАПЕЛЬНЫХ СИСТЕМАХ

Распространение слабых монохроматических волн в паро- и газозвзвях, а также в смесях газа, пара и капля жидкости рассмотрено в [1—8]. В настоящей работе представлены некоторые результаты исследования распространения импульсных возмущений малой амплитуды в одно- и двухкомпонентных газокапельных системах. Получено и проанализировано эволюционное уравнение типа волнового, описывающее распространение линейных возмущений в однокомпонентных взвях при наличии фазовых превращений. С использованием метода быстрого преобразования Фурье выполнены расчеты эволюции одиночного импульсного возмущения в двухкомпонентной парогазокапельной смеси. Проанализировано влияние межфазного трения и эффектов фазового превращения на процесс эволюции волны.

При условии акустической однородности рассматриваемой монодисперсной смеси для изучения явления используем модель двухскоростного и трехтемпературного континуума [9]. Запишем линеаризованные уравнения плоского одномерного движения при наличии фазовых переходов. В системе координат, относительно которой невозмущенная смесь покоится, уравнения сохранения масс, импульсов и энергий фаз имеют вид [8]

$$(1) \quad \frac{\partial \rho'_1}{\partial t} + \rho_{10} \frac{\partial v'_1}{\partial x} = -n_0 j_{V\Sigma}, \quad \frac{\partial \rho'_V}{\partial t} + \rho_{V0} \frac{\partial v'_1}{\partial x} = -n_0 j_{V\Sigma}, \quad \frac{\partial \rho'_2}{\partial t} + \rho_{20} \frac{\partial v'_2}{\partial x} = n_0 j_{\Sigma},$$

$$\rho_{10} \frac{\partial v'_1}{\partial t} + \frac{\partial p'_1}{\partial x} + n_0 f = 0, \quad \rho_{20} \frac{\partial v'_2}{\partial t} = n_0 f,$$

$$\rho_{V0} \frac{\partial i'_V}{\partial t} + \rho_{G0} \frac{\partial i'_G}{\partial t} = \alpha_{10} \frac{\partial p'_1}{\partial t} - n_0 q_{1\Sigma}, \quad \rho_{20} \frac{\partial u'_2}{\partial t} = -n_0 q_{2\Sigma},$$

$$q_{1\Sigma} + q_{2\Sigma} = -j_{\Sigma} l_0, \quad j_{V\Sigma} = j_{\Sigma},$$

$$\rho_{10} = \alpha_{10} \rho_{10}^0, \quad \rho_{20} = \alpha_{20} \rho_{20}^0, \quad \alpha_{10} + \alpha_{20} = 1, \quad \alpha_{20} = \frac{4}{3} \pi a_0^3 n_0,$$

$$\rho_{10} = \rho_{V0} + \rho_{G0}, \quad p_{10} = p_{V0} + p_{G0}.$$

Здесь  $\rho$ ,  $\rho^0$ ,  $v$ ,  $p$  — приведенная и истинная плотности, скорость и давление;  $\alpha$  — объемное содержание;  $n$  — число частиц в единице объема;  $f$  — сила, действующая со стороны несущей фазы на отдельную каплю;  $j_{V\Sigma}$  — диффузионный поток пара к поверхности капли  $\Sigma$ ;  $j_{\Sigma}$  — интенсивность конденсации на поверхности капли;  $i$ ,  $u$ ,  $l$  — удельная энтальпия, внутренняя энергия и теплота парообразования;  $q_{j\Sigma}$  — интенсивность теплообмена  $j$ -фазы с поверхностью капли ( $j = 1, 2$ ); индексы 1 и 2 относятся к параметрам газообразной и взвешенной фаз;  $V$  и  $G$  отмечают параметры паровой и газовой компонент несущей фазы; штрихи сверху обозначают возмущения параметров; индекс 0 отвечает начальному невозмущенному состоянию. Предполагается, что компоненты газообразной фазы являются калорически совершенными газами. Капли считаются несжимаемыми.